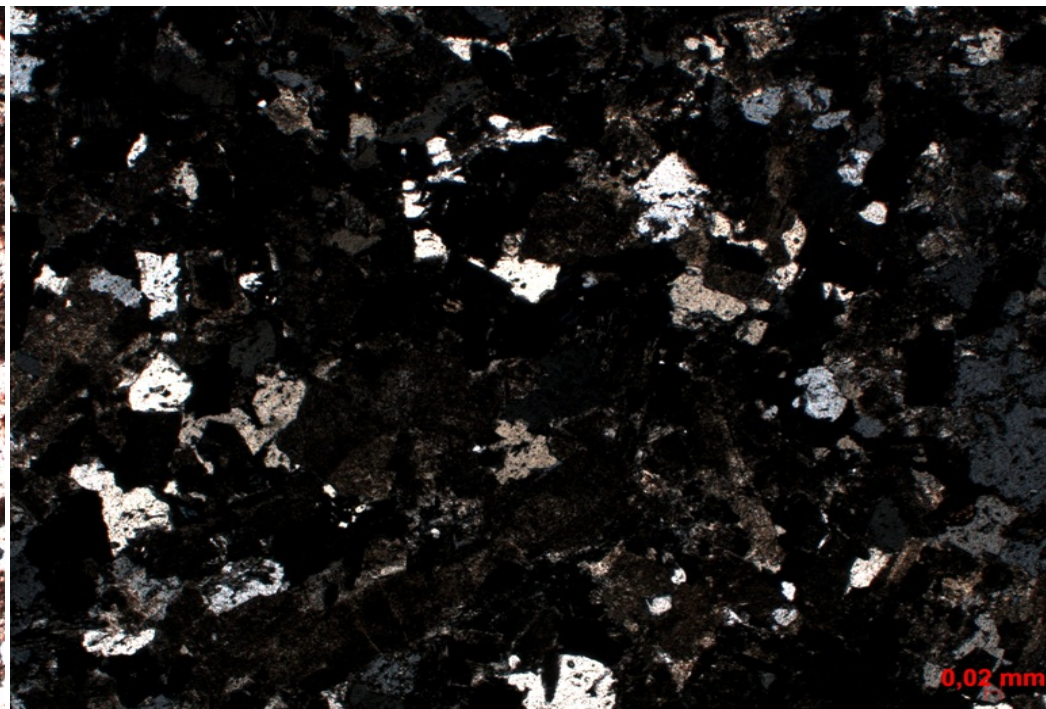
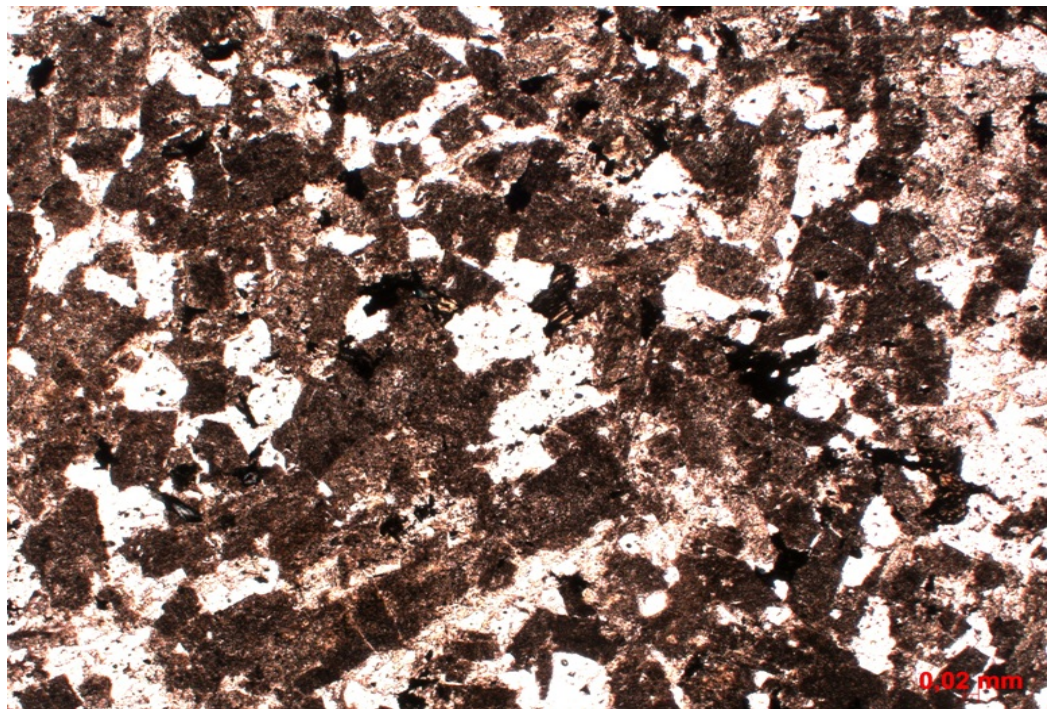


Проба №: Г-29/390

Место отбора: Центральная часть Крестовского массива. Скважина Г-29, глубина - 390 м. Скважина пробурена в правом борту долины руч. Крестовый в районе высоты 314

Описание шлифа: Плагиаоплит. Структура панидиоморфнозернистая, типичная аплитовая. Кварц и калиевые полевые шпаты обладают примерно одинаковым идиоморфизмом. Представлены призматическими зернами преобладающего размера 0,8х1,0 мм. По содержанию несколько преобладает интенсивно пелитизированный калиевый полевой (35-40%), содержание кварца не превышает – 25-30%. Плагиоклаз представлен сдвойникованными пелитизированными призматическими лейстами средним размером 0,2х1,8 мм, занимающими не более 20-25%. В породе также присутствуют чешуй голубовато-синего хлорита в кайкаймах окисно-рудных минералов и магнетита, занимающие до 6-8% объема породы. Часто встречается биотит. В незначительных количествах присутствуют щелочные пироксены и амфиболы., также встечают ортит, циркон, апатит.



Результаты аналитических работ:

***Рентгеноспектральный анализ с титриметрией***

SiO <sub>2</sub> %	Al <sub>2</sub> O <sub>3</sub> %	TiO <sub>2</sub> %	Fe <sub>2</sub> O <sub>3</sub> общ %	MnO %	MgO %	CaO %	Na <sub>2</sub> O %	K <sub>2</sub> O %	P <sub>2</sub> O <sub>5</sub> %	ппп %	Сумма %	V %	Ba %	Fe <sub>2</sub> O <sub>3</sub> %	FeO %
71,2	13,2	0,46	1,61	0,023	0,99	1,85	4,06	5,52	0,063	1,14	100	<.005	0,032	0,83	0,71

***ICP-MS с предварительным разложением проб сплавлением или полным кислотным разложением***

Li ppm	Be ppm	Sc ppm	Co ppm	Ni ppm	Cu ppm	Zn ppm	Ge ppm	Ag ppm	Sb ppm	Pb ppm	Bi ppm	TiO <sub>2</sub> %	V ppm	Cr ppm	Ga ppm
17,1	2,64	5,63	4,97	16,8	25,6	23,3	1,28	0,15	0,15	31,3	<0.1	0,44	16,4	26,3	16,3

Rb ppm	Sr ppm	Y ppm	Zr ppm	Nb ppm	Mo ppm	Sn ppm	Cs ppm	Ba ppm	La ppm	Ce ppm	Pr ppm	Nd ppm	Sm ppm	Eu ppm	Gd ppm
188	266	24,3	180	23	5,65	1,48	0,68	332	46,7	88,7	9,62	33,6	5,44	1,26	4,45

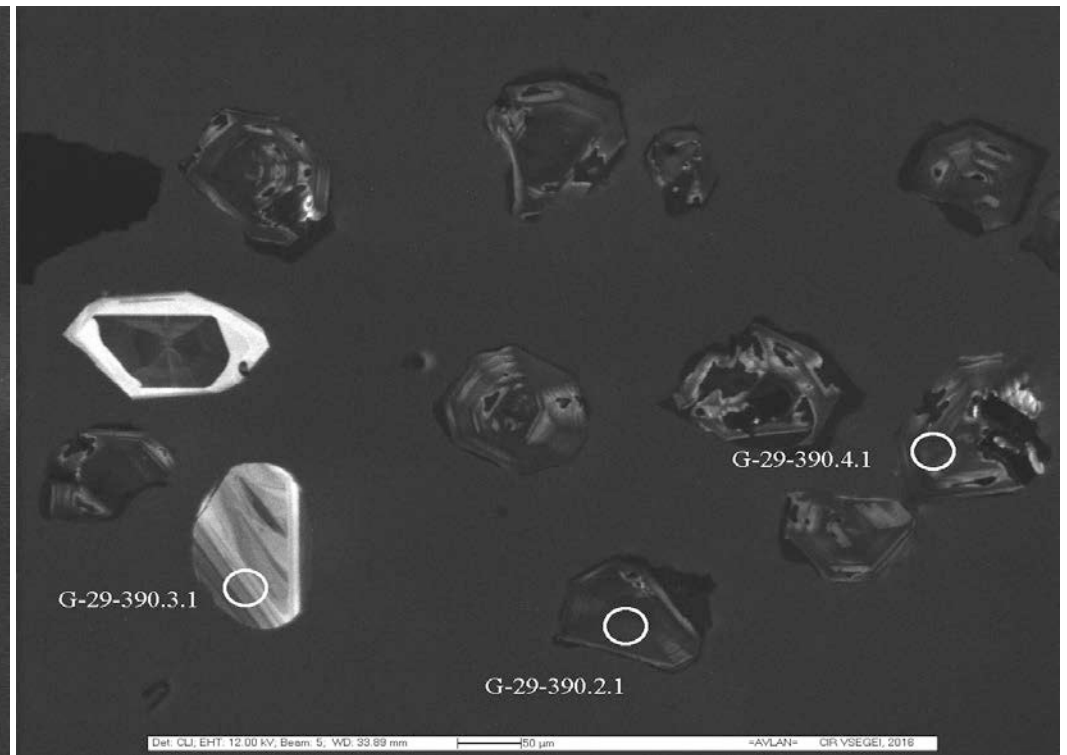
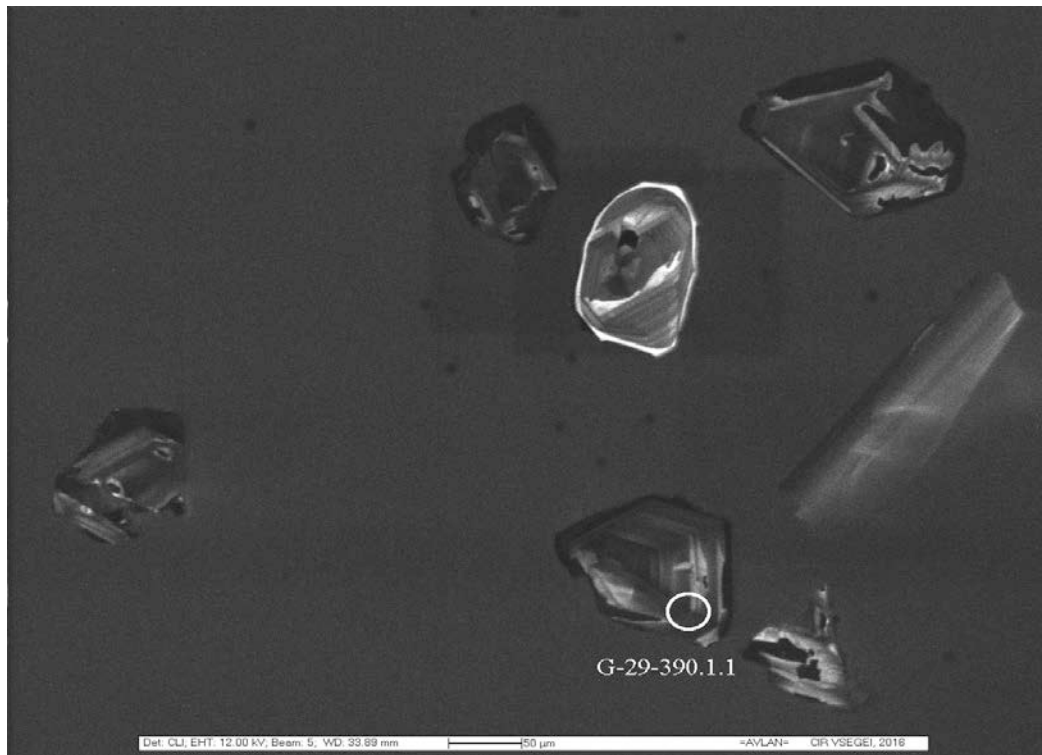
Tb ppm	Dy ppm	Ho ppm	Er ppm	Tm ppm	Yb ppm	Lu ppm	Hf ppm	Ta ppm	W ppm	Th ppm	U ppm	K <sub>2</sub> O %
0,66	4,01	0,81	2,59	0,39	2,66	0,38	5,07	1,93	1,47	10,2	4,4	5,48

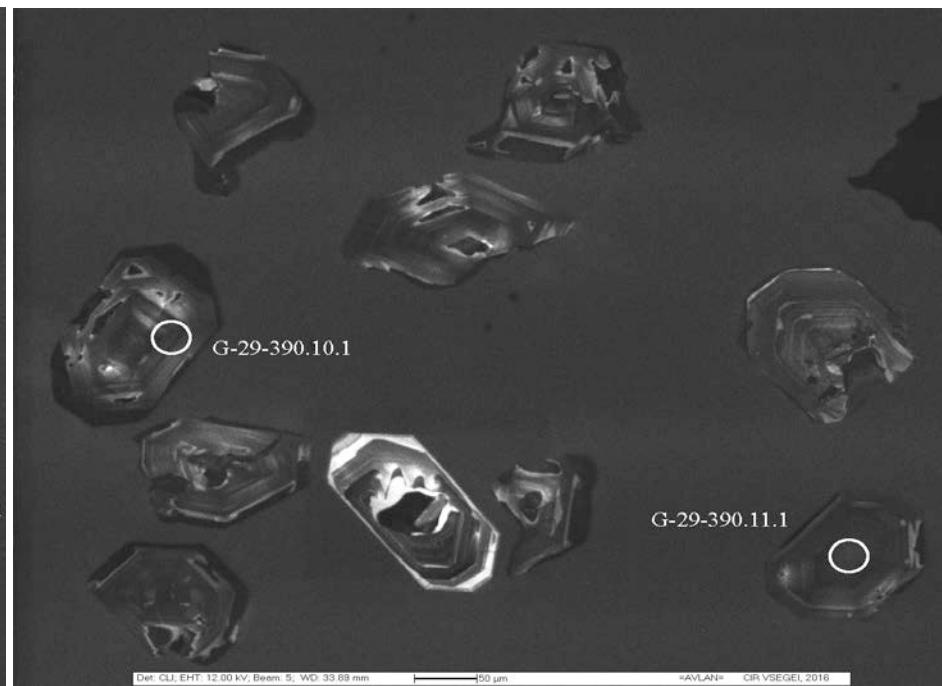
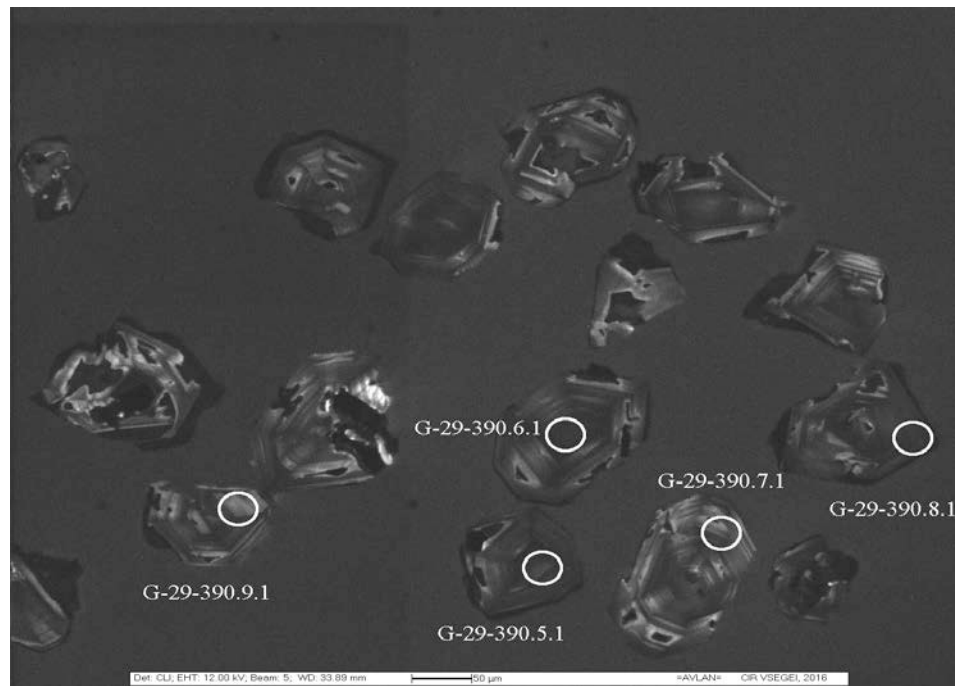
***ICP-MS с предварительным кислотным разложением и доплавлением н/о с Na<sub>2</sub>O<sub>2</sub> (Au, Pt, Pd, Ru, Rh, Ir)***

Ru ppm	Rh ppm	Pd ppm	Ir ppm	Pt ppm	Au ppm
<0.002	<0.002	<0.002	<0.002	<0.002	0,0031

Описание цирконов:

Цирконы бесцветные и коричневого цвета. Полупрозрачные и мутные. Представлены в основном идиоморфными кристаллами коротко призматического облика и их обломками, окатанным обломком (3.1). Длина циркона составляет от 75 до 250 мкм. Коэффициент удлинения от 1 до 2. В КЛ представлены в основном кристаллами и обломками слабого свечения с магматической зональностью и секториальности; светлым окатанным обломком с магматической зональностью (3.1). По результатам U-Pb датирования цирконы разделены на следующие возрастные группы. Возраст циркона 3.1 –  $1008 \pm 10$  Ма. U=111, Th=42, Th/U=0.39. Для цирконов 4.1, 10.1, 2.1, 7.1, 1.1, 9.1, 5.1, 11.1, 8.1 получен конкордантный возраст  $252.6 \pm 1.4$  Ма. U=703 – 1358, Th=457 – 1063, Th/U=0.46 – 0.85.



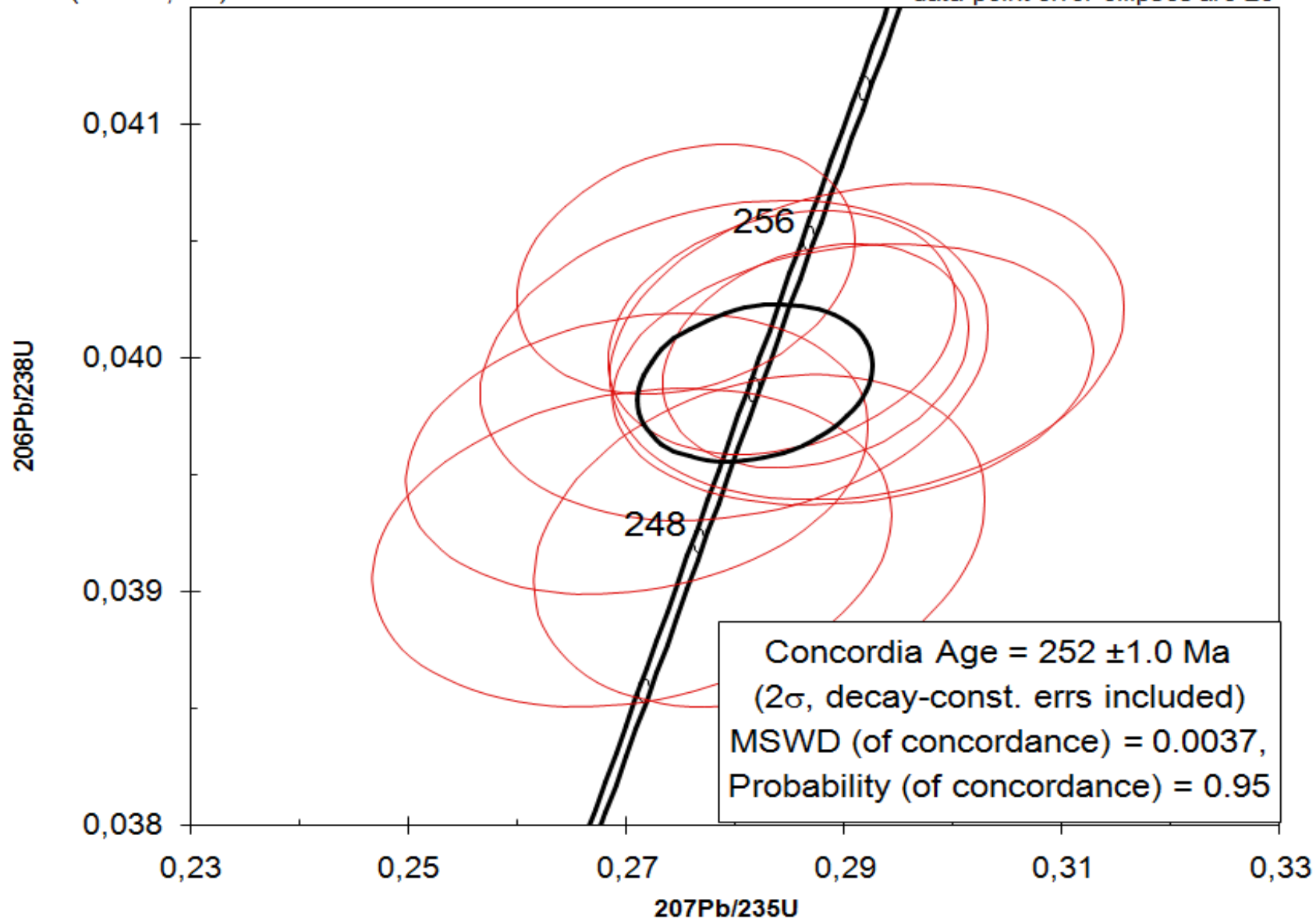


Результаты **U-Pb** датирования (SHRIMP II)

Spot	ε <sup>206</sup> Pb <sub>c</sub>	ppm U	ppm Th	<sup>232</sup> Th/ <sup>238</sup> U	ppm <sup>206</sup> Pb*	(1) <sup>206</sup> Pb/ <sup>238</sup> U Age	(1) <sup>207</sup> Pb/ <sup>206</sup> Pb Age	ε Dis-cordant	(1) <sup>238</sup> U/ <sup>206</sup> Pb* ±ε	(1) <sup>207</sup> Pb*/ <sup>206</sup> Pb* ±ε	(1) <sup>207</sup> Pb*/ <sup>235</sup> U ±ε	(1) <sup>206</sup> Pb*/ <sup>238</sup> U ±ε	err corr
G-29-390.4.1	0,21	735	457	0,64	24.8	248 1,7	198 81	-20	25.52 0,7	0,0501 3.5	0.2705 3.6	0,0392 0,7	,200
G-29-390.10.1	0,17	881	636	0,75	29.7	248 1,8	294 66	18	25,5 0,7	0,0522 2.9	0.2822 3,0	0,0392 0,7	,249
G-29-390.2.1	0,26	985	641	0,67	33.6	250 1,5	179 73	-29	25.26 0,6	0,0497 3.1	0,2710 3.2	0,0396 0,6	,194
G-29-390.6.1	0,26	1198	898	0,77	41.2	252 1,4	321 70	27	25.05 0,6	0,0528 3.1	0.2908 3.1	0,0399 0,6	,184
G-29-390.7.1	0,20	703	315	0,46	24.2	253 1,7	231 77	-9	25.01 0,7	0,0508 3.3	0.2799 3.4	0,0400 0,7	,206
G-29-390.1.1	0,11	1182	937	0,82	40.7	253 1,2	290 44	15	24.99 0,5	0,0521 1.9	0.2874 2,0	0,0400 0,5	,247
G-29-390.9.1	0,20	738	504	0,71	25.4	253 1,7	323 73	27	24.96 0,7	0,0529 3.2	0.2921 3.3	0,0401 0,7	,212
G-29-390.5.1	0,11	1299	1063	0,85	44.8	254 1,3	259 51	2	24.93 0,5	0,0514 2.2	0.2843 2.3	0,0401 0,5	,234
G-29-390.11.1	0,13	978	694	0,73	34	255 1,3	171 52	-33	24.76 0,5	0,0495 2.2	0.2755 2.3	0,0404 0,5	,237
G-29-390.8.1	0,00	1358	1019	0,78	47.4	257 1,5	219 43	-15	24.62 0,6	0,0505 1.9	0.2829 2,0	0,0406 0,6	,302
G-29-390.3.1	0,21	111	42	0,39	16.2	1008 10	959 65	-5	5,91 1,1	0,0710 3.2	1,6570 3.3	0,1692 1,1	,328

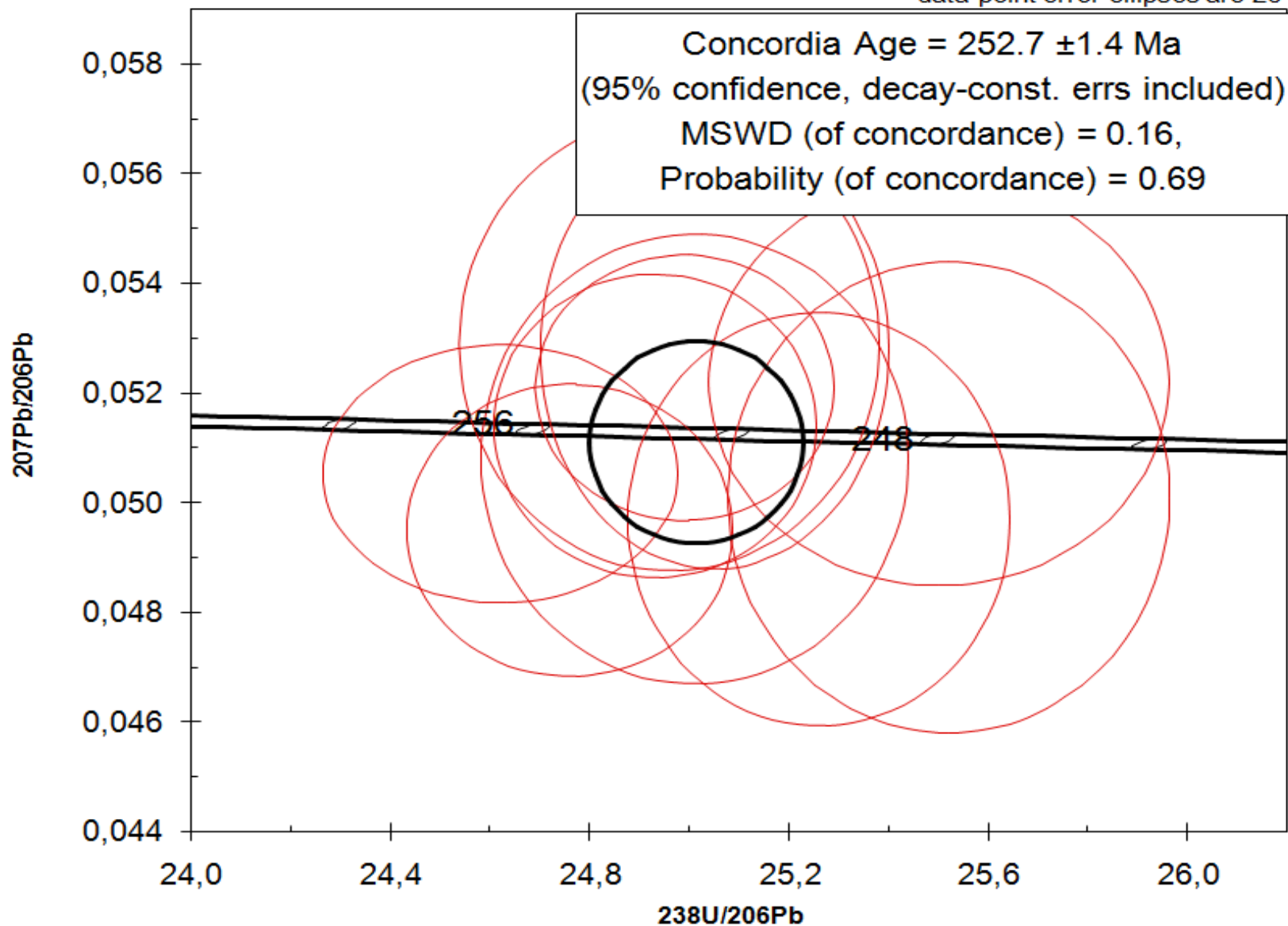
G-29-390  
n=9 (без 8.1, 3.1)

data-point error ellipses are  $2\sigma$



G-29-390  
n=10

data-point error ellipses are  $2\sigma$



G-29-390  
n=10

